

УДК 548.736.5

КРИСТАЛЛОГРАФИЯ

О. С. ФИЛИПЕНКО, Е. А. ПОБЕДИМСКАЯ, В. И. ПОНОМАРЕВ,
академик И. В. БЕЛОВ

**КРИСТАЛЛИЧЕСКАЯ СТРУКТУРА СИНТЕТИЧЕСКОГО
СИЛИКАТА БАРИЯ $\text{Ba}_4\text{Si}_6\text{O}_{16}$**
НОВЫЙ ЛЕНТОЧНЫЙ КРЕМНЕКИСЛОРОДНЫЙ РАДИКАЛ $[\text{Si}_6\text{O}_{16}]_{\infty}$

Хорошо ограненные, прозрачные кристаллы $\text{Ba}_4\text{Si}_6\text{O}_{16}$ получены при гидротермальном изучении системы $\text{Ba}(\text{OH})_2 - \text{SiO}_2 - \text{H}_2\text{O}$ из шихты состава $\text{BaO} : \text{SiO}_2 = 1,5 : 1$ (1). Гониометрические данные соответствовали моноклинной голоэдрии, что позволило на первом этапе вести расшифровку структуры в рамках центросимметричной группы $P\bar{2}_1/b$ (закономерные погасания: $h\bar{k}0 \div k = 2n + 1$, $00l \div l = 2n + + 1$). Параметры, уточненные на дифрактометре ДРОН-1: $a = 12,476 \pm 0,004 \text{ \AA}$; $b = 13,962 \pm 0,005 \text{ \AA}$; $c = 4,688 \pm 3 \text{ \AA}$; $\gamma = 93^\circ 37' \pm 0,003'$ согласуются с ранее указанными (2, 3), $Z = 4$, но ось b удвоена по сравнению с данными (2), где за истинный параметр b был принят ярко выраженный на всех слоевых плоскостях $h\bar{k}0 - h\bar{k}b$ псевдопериод $b' = \frac{1}{2}b$.

Использованный при определении структуры трехмерный набор интегральных интенсивностей получен на MoK_α -излучении (Zr -фильтр) с дифрактометром ДРОН-1 методом $\theta/2\theta$ в соответствии с (4). Установочные углы рассчитаны по уточненным параметрам на ЭВМ Урал-2 (5). Использован сферический образец диаметром $0,25 \pm 0,01 \text{ mm}$, среднее отклонение от сферичности 5 %. Интенсивности исправлены на угловые факторы LP , а также учтено поглощение для $\mu R = 4,2$ (6). В измеренной $\frac{1}{4}$ части сферы ($\max \sin \theta / \lambda = 1,0 \text{ \AA}^{-1}$) зарегистрировано ~ 1550 отражений с $F^2 \neq 0$.

Для решения структуры основой был трехмерный паттерсоновский синтез $P(uvw)$. Скопление пикив на двух уровнях 0 и $\frac{1}{2}$ по c -оси указывало на особое положение атомов Ba ($z \approx \frac{1}{4}$ и $\frac{3}{4}$), т. е. почти на плоскостях скользящего отражения, что и проявилось в псевдоперiodичности по оси b . После выявления тяжелых Ba локализация атомов Si и O на первом этапе, в рамках центросимметричной структуры, проводилась по трехмер-

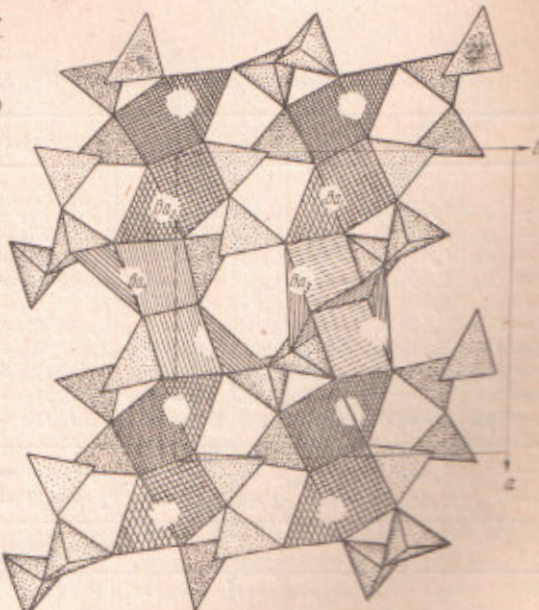


Рис. 1. $\text{Ba}_4[\text{Si}_6\text{O}_{16}]$. Проекция xy структуры (вдоль короткой оси $c = 4,7 \text{ \AA}$). Видны торцы четырех кристаллографически независимых, но сходных сдвоенных (собственными осиами 2_1) колонок (пилястр) из Ba -семивершинников ($\text{Ba}_{1,2,3,4}$). Пилястры объединены в рифленые стенки, параллельные (010) -плоскости xy . Такие видны торцы кремпекислородных лент, все кристаллографически тождественны, но каждая составлена из трех пироксеноподобных цепочек

Таблица 1

Координаты базисных атомов $\text{Ba}_4[\text{Si}_6\text{O}_{16}]$

Атомы	x/a	y/b	z/c	Атомы	x/a	y/b	z/c
Ba_1	0,1420	0,4695	0,7852	O_4	0,474	0,076	0,315
Ba_2	0,1475	0,9660	0,8057	O_5	0,262	0,521	0,311
Ba_3	0,4214	0,3905	0,2808	O_6	0,264	0,026	0,295
Ba_4	0,4137	0,8860	0,3200	O_7	0,710	0,663	0,300
Si_1	0,3475	0,6097	0,3422	O_8	0,708	0,165	0,298
Si_2	0,3560	0,1100	0,2150	O_9	0,847	0,323	0,304
Si_3	0,7190	0,2790	0,3570	O_{10}	0,850	0,827	0,220
Si_4	0,7290	0,7740	0,2170	O_{11}	0,669	0,864	0,388
Si_5	0,9670	0,3130	0,2070	O_{12}	0,637	0,350	0,177
Si_6	0,9795	0,8116	0,2470	O_{13}	0,995	0,215	0,400
O_1	0,035	0,415	0,303	O_{14}	0,004	0,710	0,390
O_2	0,035	0,914	0,290	O_{15}	0,298	0,200	0,380
O_3	0,476	0,581	0,278	O_{16}	0,680	0,290	0,680

Таблица 2

Межатомные расстояния $\text{Ba}_4[\text{Si}_6\text{O}_{16}]$ (в ангстремах)

Si-тетраэдры							
$\text{Si}_1 - \text{O}_3$	1,60	$\text{Si}_2 - \text{O}_2$	1,64	$\text{Si}_3 - \text{O}_3$	1,61	$\text{Si}_4 - \text{O}_7$	1,60
$\text{Si}_1 - \text{O}_5$	1,59	$\text{Si}_2 - \text{O}_6$	1,63	$\text{Si}_3 - \text{O}_9$	1,69	$\text{Si}_4 - \text{O}_{10}$	1,64
$\text{Si}_1 - \text{O}_{12}$	1,67	$\text{Si}_2 - \text{O}_{11}$	1,61	$\text{Si}_3 - \text{O}_{12}$	1,68	$\text{Si}_4 - \text{O}_{11}$	1,70
$\text{Si}_1 - \text{O}_{15}$	1,65	$\text{Si}_2 - \text{O}_{15}$	1,68	$\text{Si}_3 - \text{O}_{15}$	1,60	$\text{Si}_4 - \text{O}_{15}$	1,66
$\text{O}_3 - \text{O}_5$	2,75	$\text{O}_2 - \text{O}_6$	2,67	$\text{O}_8 - \text{O}_9$	2,72	$\text{O}_7 - \text{O}_{10}$	2,82
$\text{O}_3 - \text{O}_{12}$	2,57	$\text{O}_2 - \text{O}_{11}$	2,84	$\text{O}_8 - \text{O}_{12}$	2,84	$\text{O}_7 - \text{O}_{11}$	2,91
$\text{O}_3 - \text{O}_{15}$	2,77	$\text{O}_2 - \text{O}_{15}$	2,90	$\text{O}_8 - \text{O}_{16}$	2,54	$\text{O}_7 - \text{O}_{15}$	2,75
$\text{O}_5 - \text{O}_{12}$	2,74	$\text{O}_6 - \text{O}_{11}$	2,56	$\text{O}_9 - \text{O}_{12}$	2,74	$\text{O}_{10} - \text{O}_{11}$	2,48
$\text{O}_5 - \text{O}_{15}$	2,76	$\text{O}_6 - \text{O}_{15}$	2,47	$\text{O}_9 - \text{O}_{16}$	2,75	$\text{O}_{10} - \text{O}_{15}$	2,45
$\text{O}_{12} - \text{O}_{15}$	2,54	$\text{O}_{11} - \text{O}_{15}$	2,59	$\text{O}_{12} - \text{O}_{16}$	2,57	$\text{O}_{11} - \text{O}_{15}$	2,52
$(\text{Si} - \text{O})_{\text{cp}}$	1,63	$(\text{Si} - \text{O})_{\text{cp}}$	1,64	$(\text{Si} - \text{O})_{\text{cp}}$	1,65	$(\text{Si} - \text{O})_{\text{cp}}$	1,65
$(\text{O} - \text{O})_{\text{cp}}$	2,69	$(\text{O} - \text{O})_{\text{cp}}$	2,69	$(\text{O} - \text{O})_{\text{cp}}$	2,70	$(\text{O} - \text{O})_{\text{cp}}$	2,66

Ва-полизидры

$\text{Ba}_1 - \text{O}_1$	2,71	$\text{Ba}_2 - \text{O}_2$	2,85	$\text{Ba}_3 - \text{O}_3$	2,68	$\text{Ba}_4 - \text{O}_2$	2,71
$\text{Ba}_1 - \text{O}_1$	2,86	$\text{Ba}_2 - \text{O}_2$	2,76	$\text{Ba}_3 - \text{O}_3$	2,70	$\text{Ba}_4 - \text{O}_6$	2,79
$\text{Ba}_1 - \text{O}_4$	2,70	$\text{Ba}_2 - \text{O}_6$	2,88	$\text{Ba}_3 - \text{O}_7$	2,99	$\text{Ba}_4 - \text{O}_2$	2,74
$\text{Ba}_1 - \text{O}_1$	2,82	$\text{Ba}_2 - \text{O}_6$	2,83	$\text{Ba}_3 - \text{O}_7$	2,85	$\text{Ba}_4 - \text{O}_2$	2,78
$\text{Ba}_1 - \text{O}_5$	2,75	$\text{Ba}_2 - \text{O}_{10}$	2,91	$\text{Ba}_3 - \text{O}_{12}$	2,83	$\text{Ba}_4 - \text{O}_8$	2,78
$\text{Ba}_1 - \text{O}_5$	2,95	$\text{Ba}_2 - \text{O}_2$	2,91	$\text{Ba}_3 - \text{O}_3$	2,71	$\text{Ba}_4 - \text{O}_8$	2,95
$\text{Ba}_1 - \text{O}_9$	2,89	$\text{Ba}_2 - \text{O}_8$	2,65	$\text{Ba}_3 - \text{O}_5$	2,79	$\text{Ba}_4 - \text{O}_{16}$	2,74
$(\text{Ba} - \text{O})_{\text{cp}}$	2,81	$(\text{Ba} - \text{O})_{\text{cp}}$	2,80	$(\text{Ba} - \text{O})_{\text{cp}}$	2,83	$(\text{Ba}_4 - \text{O})_{\text{cp}}$	2,79

ным распределениям электронной плотности $\rho(xyz)$. Положения 8 Ba, 12 Si и 28 из 32 атомов O согласовывались на данном этапе с общими четырехкратными комплексами федоровской группы P_2_1/b , но на стадии кристаллохимического анализа структуры возникло сомнение в правильности выбора группы P_2_1/b , тем более что особые положения тяжелых атомов могли привести (и привели, как показал дальнейший обсчет модели) к псевдопогасаниям в отражениях $h\bar{k}0 \div k = 2n + 1$.

Позициям атомов Ba, Si и O, уточненным по серии трехмерных $\rho(xyz)$ с последующим м.и.к. по группе P_2_1 , отвечали межатомные расстояния и баланс валентностей, достаточно хорошо согласующиеся с обычными в си-

ликахах. В табл. 1, 2 приведены координаты базисных атомов и рассчитанные по ним межатомные расстояния, которым соответствует заключительный фактор $R_{\text{ав}} = 8\%$ по 1550 ненулевым независимым отражениям при $B = 0,5 \text{ \AA}^{-2}$. Все вычисления выполнялись по программам комплекса К-68 (7).

Координация 4 независимых атомов Ва семерная: типичная для крупных катионов комбинация тригональной призмы с полюоктаэдром (8-10). Ва_{2,3}-семивершинники более деформированные. Трансляционно идентичные Ва-полиэдры по общим почти горизонтальным ребрам сочленены втянувшиеся вдоль оси с цепочки, которые, в свою очередь, сдвоены общими наклонными ребрами (а кристаллографически винтовой осью 2₁) в единую пильястру. Соседние пильястры из кристаллографически независимых Ва-полиэдров объединены в рифленую стенку, параллельную грани (010)-плоскости αz (рис. 1), сходную со сплошными стенками из Ca-, Se-семивершинников, например, в структуре ринкита (10). Ось b рассекается двумя такими почти идентичными стенками, что явилось причиной псевдоцентричности. Согласно простиранию рифленых слоев, вдоль оси c протянулись широкие нового типа кремнекислородные ленты состава [Si₆O₁₆]_∞ (рис. 2). Генетически лента [Si₆O₁₆]_∞ может быть представлена как утроенная пироксенового типа метацепочка [Ge₂O₆]_∞ в β-BaGeO₃ полярная (11), и тем самым весьма характерная* для пинковых силикатов (12). Была указана (13-15) возможность конденсации (полимеризации) четырех и соответственно пяти таких цепочек с образованием четверных лент в Ba₅[Si₃O₂₁] и пятерных в Ba₈[Si₁₀O₂₆]. В ленте [Si₆O₁₆]_∞ две составляющие ее наружные пироксеновые цепочки характеризуются псевдоосью 2₁, тогда как средняя подчиняется псевдоплоскости скольжения c . Звеньями ленты можно считать и деформированные шестерные (дитригональные) кольца. Решением настоящей структуры подтверждается предположение (13, 14) о том, что Ba₂Si₃O₈ должен быть членом гомологического ряда Ba_{n+1}Si_{2n}O_{5n+1}, возглавляемого аналогом высокотемпературного метагерманата Ba₂Si₂O₆ (15, 16) и завершающего слоистым силикатом санборнитом Ba₂Si₄O₁₀ ($n = \infty$) (17). Ленту (Si₆O₁₆]_∞ можно рассматривать и как вырезку из санборнитовой сетки вдоль оси c (4,64 Å).

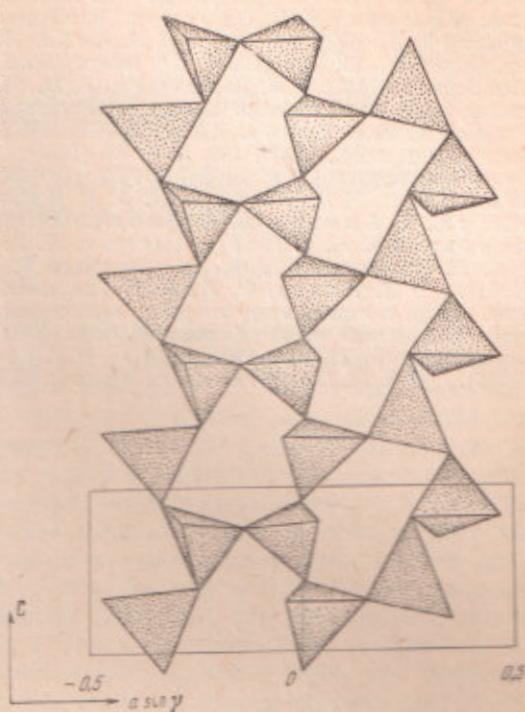


Рис. 2. Новый бесконечный в одном измерении кремнекислородный радикал: три пироксеноподобные цепочки слились в тройную ленту с потерей у средней цепочки двух O (на звено) $[\text{Si}_2\text{O}_6]_\infty + [\text{Si}_2\text{O}_{4+2}]_\infty + [\text{Si}_2\text{O}_8]_\infty = [\text{Si}_6\text{O}_{16}]_\infty + 20$

Московский государственный университет
им. М. В. Ломоносова

Поступило
13 XI 1970

* Ее характерная особенность в том, что параллельно оси цепочки Si-тетраэдры располагают не ребра, а свои высоты, и это сокращает период c до 4,7 Å против (пироксенового) 5,2 Å.

ЦИТИРОВАННАЯ ЛИТЕРАТУРА

- ¹ О. С. Филипенко, Б. Н. Литвин и др., Кристаллография, 15, в. 4, 863 (1970). ² Н. Katscher, F. Liebau, Naturwiss., 52, 18, 512 (1965). ³ R. S. Roth, E. M. Levin, J. Res. Nat. Bur. Stand., 62, 5, 193 (1959). ⁴ Д. М. Хейкер, В. А. Мырзин, И. И. Яковлев, В сборн. Аппаратура и методы рентгеновского анализа, 1, Л., 1967, стр. 39. ⁵ Э. Л. Лубе, Л. А. Бутман, Д. М. Хейкер, Кристаллография, 12, 710 (1967). ⁶ International Tables for X-ray Crystallography, 2, Birmingham, 1952. ⁷ А. Б. Товбис, Б. М. Щедрин, Комплекс программ для решения задач структурного анализа кристаллов, М., 1968. ⁸ Р. М. Ганиев, В. В. Илюхин, Н. В. Белов, ДАН, 190, № 4, 831 (1970). ⁹ А. В. Чичагов, В. С. Коваленко и др., ДАН, 189, № 1, 88 (1969). ¹⁰ В. И. Симонов, Н. В. Белов, Кристаллография, 12, в. 5, 847 (1967). ¹¹ W. Hiltner, Acta crystallogr., 15, 11, 11019 (1962). ¹² В. В. Илюхин, А. В. Никитин, Н. В. Белов, ДАН, 171, № 6 (1966); С. Т. Амиров, А. В. Никитин и др., ДАН, 177, № 1 (1967); Д. Ю. Пущаровский, Е. А. Победимская, Н. В. Белов, ДАН, 185, № 5, 1045 (1969). ¹³ А. Н. Лазарев, Т. Ф. Тенишева, Р. Г. Гребенщиков, ДАН, 140, 811 (1961). ¹⁴ Х. Качер, Ф. Либау, Тез. докл. на VII Международн. кристаллографич. конгр. и симпозиуме по росту кристаллов, «Наука», 1966, стр. 61. ¹⁵ Н. Katscher, Abstracts of the Communications. VIII Intern. Congress and Symposium on Crystal Growth, XII—23, 1969, p. 107. ¹⁶ F. Liebau, Neues Jahrb. Mineral., 94, 1209 (1900). ¹⁷ R. M. Douglass, Am. Mineral., 43, 517 (1968).